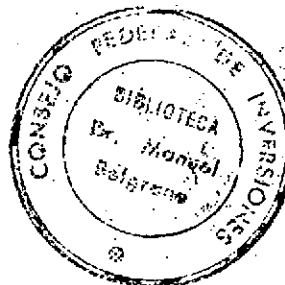


33691

Ll. Pat  
2K 090 X 0,25



"ESTABLECIMIENTO DEPURADOR CLOACAL

EN SAN CARLOS DE BARILOCHE"

ESTUDIO GEOTECNICO

O X 12  
B 15 e

63319

Licenciado Carlos A. Beros  
Setiembre - Octubre 1990.-

Diseño c/f 3319  
+24  
✓ Def

INDICE

- I) MARCO GEOLOGICO-GEOMORFOLOGICO
- II) HIDROGEOLOGIA
- III) ESTABILIDAD DE TALUDES
- IV) AGRESIVIDAD
- V) DERIVA LITORAL
- VI) MOVIMIENTO DE SUELOS
- VII) METODO DE TRABAJO
- VIII) FUNDACIONES
- IX) TABLAS DE DATOS GEOTECNICOS
- X) PERFIL GEOTECNICO
- XI) DATOS PARA EL CALCULO
- XII) REFERENCIAS BIBLIOGRAFICAS
- XIII) PLANO TOPOGRAFICO - GEOMORFOLOGICO - DE UBICACION DE LABORES
- XIV) PLANO GEOTECNICO - HIDROGEOLOGICO

## I. MARCO GEOLOGICO - GEOMORFOLOGICO

El predio en consideración se halla en el ámbito del Complejo Volcánico-Sedimentario denominado Grupo Nahuel Huapi (G. Bonorino, 1978).

Los afloramientos más cercanos de estos términos se hallan unos 150 m al NW del predio, unos 25-30 m costa afuera a unos 14 m de profundidad. Se trata de tobas y tufitas con estratificación grosera subhorizontal de tonos verde azulados.

A 650 m al ENE del establecimiento existen afloramientos en la costa del Lago (cerca de la berma actual) de los cuales se han extraído fósiles, los que se presume, pueden corresponder a Formación Ventana.

Una perforación realizada por C.A.B. Perforaciones (1989), 400 m al E del predio atravesó 57 m de limos y arcillas lacustres sin tocar roca. Los sondeos geotécnicos en ningún caso tocaron estos términos.

Estos datos indican que el prerreleieve desarrollado sobre esta unidad del Terciario es en extremo irregular y su pendiente local más probable inclina hacia el NE.

Formación Ventana corresponde al basamento rocoso sobre el cual se desarrollan los depósitos Pliocuaternarios no litificados.

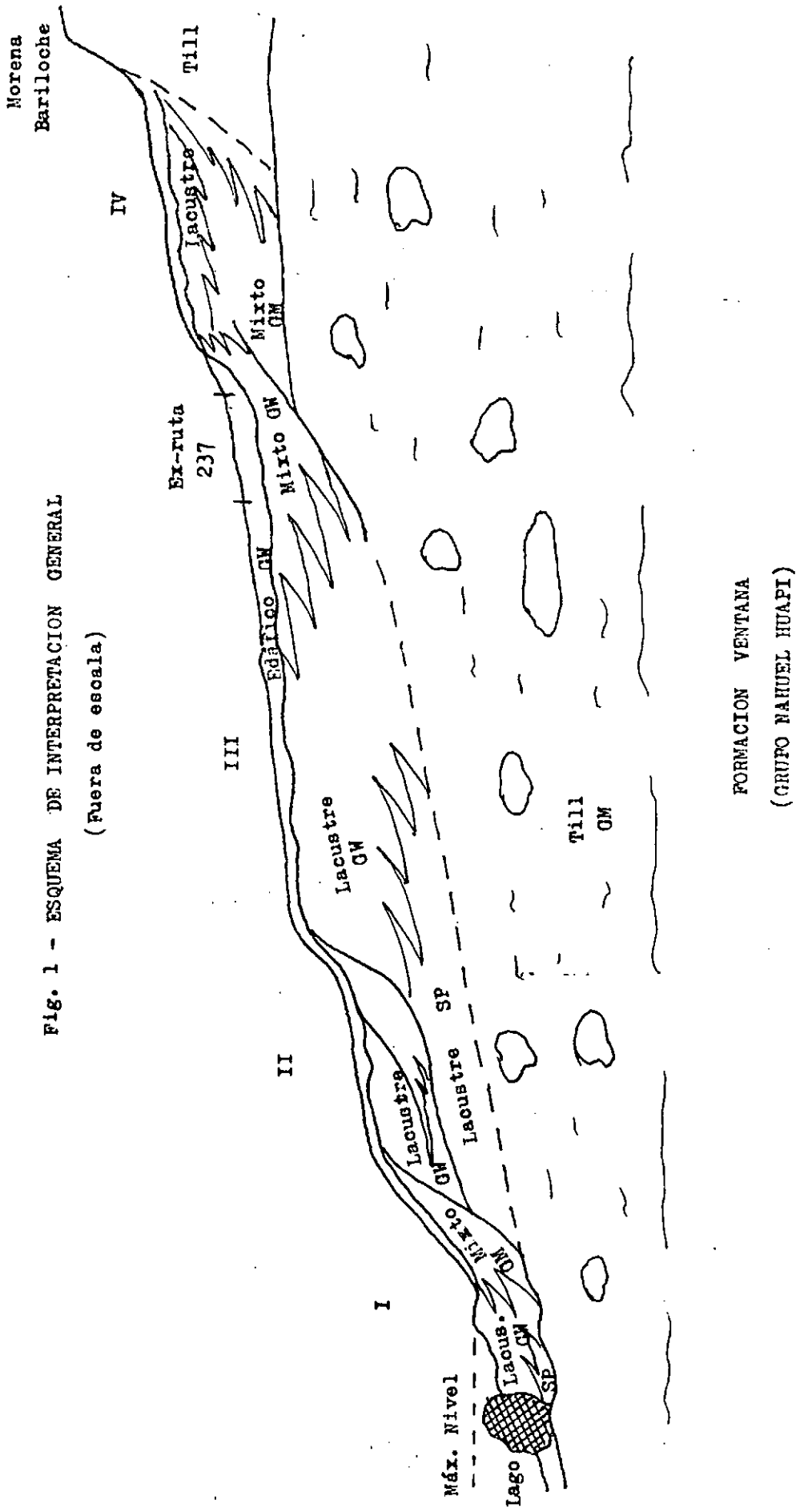
En discordancia angular y por encima se hallan las tillitas correspondientes al Drift Nahuel Huapi (Flint y Fidalgo, 1963) constituido en el predio por sedimentos glaciarios y glacifluviales (no se hallaron en las perforaciones sedimentos glacilacustres).

Por encima del till se halla un evento de espesores variables de sedimentos coluviales puros y de arrollada superficial muy inmaduros textural y composicionalmente, constituidos casi exclusivamente por till retrabajado.

Estos depósitos se intedigitán con eventos lacustres costaneros y mixtos.

Los depósitos lacustres corresponden a depósitos de cara de playa, berma y playa sumergida en condiciones de efecto intenso de tren de olas y se disponen en cuatro niveles morfológicos planialtimétricamente diferenciables (Fig. 1).

El abandono de los sucesivos niveles provocó una sucesión edafogénica con edades decrecientes de S a N.



Con esto, la edad y espesor de los suelos (edafogénicos) disminuye de S a N. La estructura interna de estos depósitos corresponde a entrecruzamientos de gran escala formados por la progradación de cordones litorales.

La playa actual está constituida por una berma de tormenta formada en períodos de máximo embalse y por una berma estacional. El sector de "rompientes" contiene bloques de hasta 2 m de diámetro resultantes de concentración residual a partir de la remoción del till.

El límite de la playa actual está formado por una escarpa o pequeño paleoacantilado fósil o inmóvil. La playa actual está en período de progradación con descenso relativo del nivel medio del lago.

Los ambientes mixtos, es decir subaéreos-lacustres están formados por intercalaciones de depósitos de backshore y coluviales con depósitos eólico-edáficos y de arrollada superficial.

## II. HIDROGEOLOGIA

### II.1. Generalidades:

Las unidades geohidrológicas que se hallan en el predio son esencialmente dos:

- a- Depósitos lacustres costaneros con predominio de grava arenosa. En el sector costero se encuentra arena gruesa uniforme con participación de grava fina. En todos los casos constituye el acuífero que interesa a los fines geotécnicos.
- b- El till conforma un acuíclido-acuitardo que a los fines prácticos podemos tomar como basamento hidrogeológico.

### II.2. Nivel Freático (Mapa Isofreático)

Los niveles freáticos fueron medidos en repetidas oportunidades a lo largo del mes de trabajos obteniéndose valores crecientes en el tiempo. Se han tomado como valores últimos los medidos el día 26 de Setiembre y con ellos se construyó el mapa isofreático. Las coloraciones ocres en la zona de oscilación indican que el nivel puede ascender hasta 1,4 m por encima del actual (sector Pozos S1 y S2).

Datos de pozos y perforaciones vecinos (150 - 200 m al E, archivo C.A.B.) muestran oscilaciones estacionales de hasta 1,6 m.

La recarga de este pequeño acuífero se produce en términos de la Morena Bariloche ubicada al Sur del predio. La mayor cantidad de fluido ingresa a las unidades lacustres en forma de cascada freática 750 m al SE del predio.

La conformación de las líneas de flujo están condicionadas por la recarga principal restringida a un punto de "spreading" (sector SE) y al relieve del basamento hidrogeológico (sector de talud N).

Los espesores de acuífero son variables, desde un máximo de 6 m hasta escasos 2 m en cercanías del nivel de base (Lago Nahuel Huapi).

#### II.3. Calidad del Agua

El agua contiene un porcentaje elevado de  $\text{Fe}^{++}$  y en contacto con el aire precipita como hidróxidos complejos provocando incrustaciones.

El porcentaje de sulfatos solubles es menor de 10 mg/l.

En sectores alejados de contaminación por efluentes el agua califica como apta para consumo humano.

#### II.4. Permeabilidad

a- Determinaciones de laboratorio: (Método de Cabeza Constante) ASTM 02434-68

Para cada muestra se siguió el procedimiento normado, en las siguientes condiciones (Ejemplo muestra Sla)

Diámetro	:	8 cm
Altura de muestra (L):	20 cm	
Área	:	50,26 $\text{cm}^2$
Volumen	:	1005,3 $\text{cm}^3$
Peso	:	1727 gr.
Altura de carga	:	90 cm
Tiempo	:	180 seg.
Caudal (Q)	:	4250 $\text{cm}^3$ (v)
Temperatura (T)	:	10° C.

$$K_T = \frac{Q \cdot L}{50,26 \cdot 90 \cdot 180} = 0,104 \text{ cm/seg}$$

$$\gamma_T / \gamma_{20^\circ} = 1,298$$

$$K_{20^\circ} = 0,13 \text{ cm/seg}$$

Los valores de los ensayos se muestran en el Cuadro 1. Cada valor corresponde al promedio entre tres ensayos.

b- Fórmula de HAZEN:

Se comparan en el mismo Cuadro 1 valores de permeabilidad obtenidos de ensayos granulométricos según el método de Hazen

$$K = 10 \cdot (D_{10})^2$$

**CUADRO I**

Permeabilidad (cm/seg)

Labor	Muestra	K <sub>l</sub> Laboratorio	K <sub>h</sub> Hazen	K <sub>b</sub> Bombeo
Sondeo 1	2	0,13	0,16	--
	4	1,04	1,44	--
Sondeo 2	3	0,23	0,4	0,155
	8	1,2	1,5	--
B	3	1,02	1,54	--
	6	0,18	0,23	--

Que son los  
Sondeos?  
Los "socavones"?

B =  ?

c- Ensayo de Bombeo:

Antes de plantear un ensayo de bombeo se hacen notar algunas peculiaridades de los acuíferos a considerar. Téngase además en cuenta que los valores de permeabilidad son necesarios a fines geotécnicos y no hidrogeológicos.

Acuífero A - Cubre el 100% del área y se restringe al S del talud costero actual

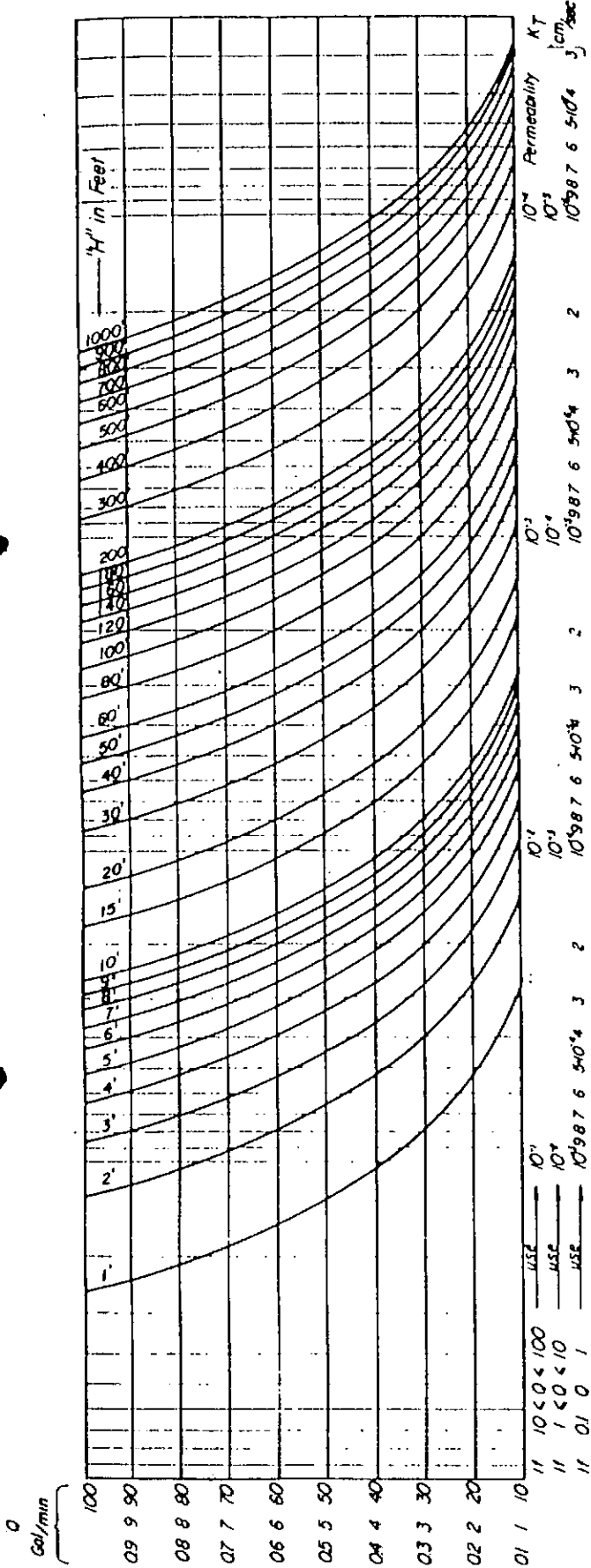
- La extensión total del acuífero no supera las 60 Ha.
- El espesor es extremadamente variable (6 m - 1,5 m)
- La topografía de la base es marcadamente irregular.
- El material es grava arenosa con clastos plateados y organizados según estructuras entrecruzadas de gran diámetro con pendiente hacia el N ( $K_h > K_v$ )
- Los pozos de bombeo y observación no han sido hechos según las normas para captación de aguas subterráneas sino como sondeos.

Con esto se estima conveniente utilizar el método sugerido por Davis y Sorenson (1969). (Copia 1).

Ver copia adjunta con las siguientes consideraciones:

*dnde!*

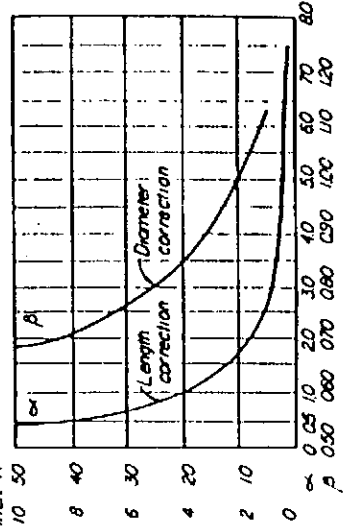
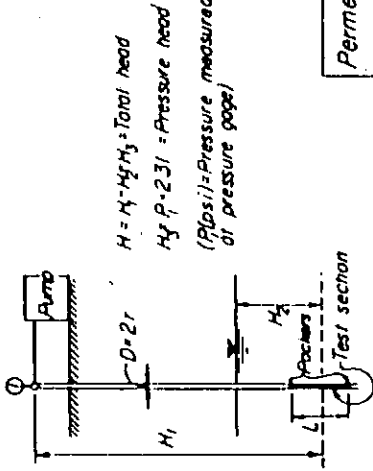
- ° Se utilizó un pozo de bombeo y dos de observación ubicados a 7,5 m aguas arriba de línea de flujo y 12 m aguas abajo respectivamente.
- ° El pozo de bombeo se encamisó con PVC de diámetro 3" y 3,2 mm de espesor.
- ° El filtro utilizado fue de ranura continua de 2,5" de diámetro y 2mm de abertura, con área abierta estimada de  $1.305 \text{ cm}^2/\text{m}$  con lo que su capacidad de transmisión a 3 cm/seg es de alrededor de 14.000 l/h por metro de filtro. La longitud del filtro fue de 0,8 m.
- ° El pozo de bombeo fue realizado en 8".
- ° No se realizó engravado debido a las características del terreno.
- ° El desarrollo fué hecho con pistoneo hidráulico.
- ° Los pozos de observación fueron encamisados con PVC de 2,5" de diámetro ranurado con aproximadamente  $80 \text{ cm}^2/\text{m}$  de área abierta. El desarrollo fué realizado con pistoneo hidráulico.
- ° Si bien se dispuso de un piezómetro, las características del acuífero (libre) hacen propicia la medición directa del nivel freático.



## (A) Permeability chart:

NOTE Chart (A) gives permeability directly if  $L = 20 \text{ feet}$ . Should there be deviation from the given values obtain correction factors from chart (B)

Pressure gauge



$$\boxed{\text{Permeability, } k = \alpha \cdot \beta \cdot K_T}$$

## (B) Length and diameter corrections

The above charts give graphical solution for the equation  $k = \frac{\alpha \cdot \beta \cdot K_T}{2\pi L H} \log_e \frac{L}{r}$

Fig. 1.19 Graphical solution for determining permeability from packer-type test. (From "Handbook of Applied Hydraulics," 3rd ed. by C. V. Davis and K. E. Sorensen.) Copyright 1969 by McGraw-Hill Book Company, New York, N.Y. Used with permission of McGraw-Hill Book Company.

• En 6 horas se logró estabilizar el sistema en un caudal de máxima capacidad de 7.500 l/h. El nivel estático se halló a 6,9 m y el dinámico a 8,4 m ( Nótese el elevado caudal específico en relación a las características constructivas del pozo).

La evaluación de permeabilidad según normas del ensayo da un valor.

$$Q_F = 7.500 \text{ l/h} \quad ND = 8,4 \text{ m}$$

$$\frac{2}{3} Q = 5.000 \text{ l/h} \quad nd = 8,0 \text{ m}$$

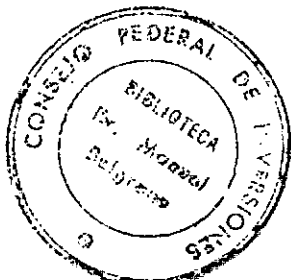
$$\frac{1}{3} Q = 2.500 \text{ l/h} \quad nd = 7,7 \text{ m}$$

En ausencia de piezómetro H es equivalente a la depresión

$$\beta = 0,9 \quad H_F = 1,5 \text{ m}$$

$$\alpha = 6,8 \quad H_{2/3} = 1,1 \text{ m}$$

$$H_{1/3} = 0,7 \text{ m}$$



$$K_F = 0,11 \text{ cm/seg}$$

$$K_{2/3} = 0,090 \text{ cm/seg}$$

$$K_{1/3} = 0,085 \text{ cm/seg}$$

En nuestro caso debemos acudir a la más desfavorable (para excavaciones bajo el nivel freático, impermeabilizaciones, etc.), por lo tanto se toma el mayor valor ( 0,11 cm/seg).

#### Acuífero B

Está ubicado fuera del predio en cuestión, pero reviste un interés especial debido a que la conducción actual de afluentes se realiza por sobre el mismo. Está ubicado entre el borde de talud hasta la línea de costa.

La recarga es principalmente indirecta tanto desde el lago como desde el acuífero A con quien se halla conectado. El piso de este acuífero está cons-

tituido por el mismo material Tillítico, sólo que en un escalón paleotopográfico más deprimido.

El material constituyente principal es grava arenosa y bloques, una parte de la facies lacustre arenosa debería incluirse a este sistema debido a su particular situación con doble recarga. Constituye el sitio de fundación de cámara de rejas, etc.

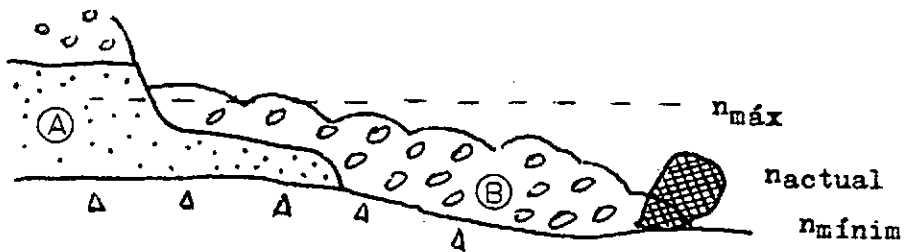


FIG. 1

Con la observación del esquema queda claro que las excavaciones deberán hacerse en época de mínimo nivel del lago, de tal modo de evitar el aporte más severo.

La permeabilidad de los depósitos de playa actual (B), estimada a partir de granulometrías es en el más desfavorable de los casos (sets de grava gruesa con bloques) de 8 cm/seg (nótese la inconveniencia de escavar con el nivel del lago alto).

La permeabilidad de la arena (A) tomada con el método de Cabeza Constante es de 0,18 cm/seg en el más desfavorable de los casos y de 0,21 cm/seg. según el Método de Hazen

### III. ESTABILIDAD DE TALUDES

En relación a la estabilidad de un hipotético talud artificial a efectuarse durante la excavación del terreno debe considerarse lo siguiente: No es posible definir una superficie de dislocación en materiales sin cohesión y con las características granulométricas mencionadas.

Estos materiales no pueden formar con el horizonte un ángulo más empinado que su ángulo de reposo (Terzaghi y Peck, 1958), (Krymne y Judd, 1972), (Hsui-Yang Fong, 1975)

Con esto el método propuesto en el contrato (valle Rodas) no puede utilizarse. Asimismo quedan descalificados todos los demás métodos que asumen distintas geometrías de planos teóricos de dislocación.

Se toma el ángulo de reposo del material seco en  $30^\circ$ .

En base al perfil teórico de la Fig. 2 se toma un ángulo de talud con las siguientes consideraciones:

- El ángulo de reposo del material "seco" se tomará a partir del primer metro por debajo del terreno natural hasta la aparición del nivel freático.
- El ángulo del suelo "edáfico" debe tomarse en  $80^\circ$
- El ángulo por debajo del nivel freático debe considerarse  $25^\circ$  o menos debido al efecto de arrastre del agua al salir

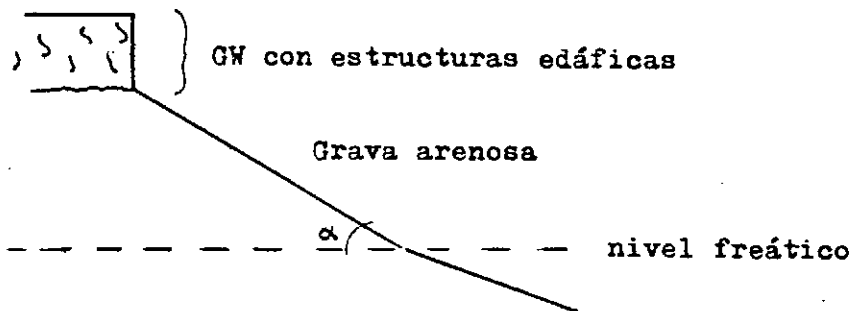


FIG. 2

Inconvenientes probables de un talud vertical: efectos verificados durante las excavaciones (ver Fig. 3)

Este tipo de comportamiento provoca caídas en masa de grandes volúmenes de terreno.

El valor empírico del ángulo de reposo directo puede hallarse construyendo un cono de material seco con una altura de 15 veces el tamaño del diámetro mayor de los clastos involucrados (para suelo granular grueso sin cohesivos) vertiendo de un recipiente directamente sobre el ápice. A este valor debe afectárselo por un coeficiente de seguridad de 1,3 para zonas con características climáti-

cas similares a Bariloche.

El factor de seguridad de un talud constituido por elementos granulares no cohesionados se define como la relación entre el ángulo de fricción interna y el ángulo real o teórico del talud. Según Terzaghi y Peck, 1958

$$F_S = \frac{\tan \theta}{\tan \beta}$$

con lo que, para un factor de seguridad razonablemente bueno tal es 1,3 el ángulo de reposo sería de  $30^\circ$ .

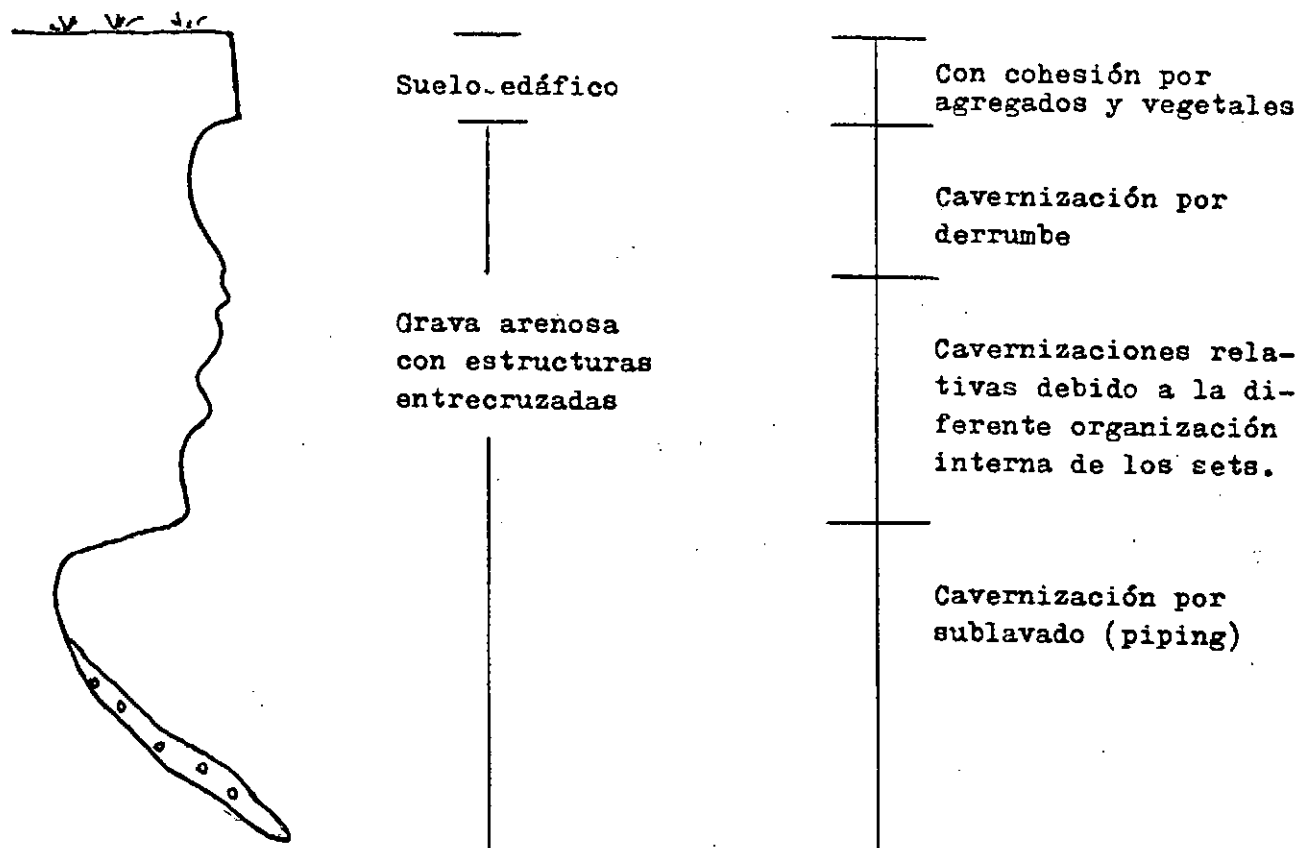


FIG. 3

#### IV. AGRESIVIDAD

##### Acidez del Suelo

Acidez actual (medida en una dispersión agua-suelo): es de pH 7,28

Acidez Potencial (estimada según propone Chernov, 1964): es de pH 7,1

##### Análisis Químicos

###### - Exámen Físico:

Aspecto	limpido
Color	incoloro
Conductividad	: 28 micromho/cm
Residuo a 105°C	: 27 mg/l

###### - Exámen Químico:

Alcalinidad Total		20,0 mg/l
Carbonatos	0 mMol/l	
Bicarbonatos	0,4 mMol/l	24,4 mg/l
Cloruros	0,1 mMol/l	4,0 mg/l
Sulfatos		menos de 10,0 mg/l
Dureza Total		16,0 mg/l
Calcio	0,15 mMol/l	6,0 mg/l
Magnesio	0,01 mMol/l	0,25 mg/l
Sodio	0,15 mMol/l	5,5 mg/l
Potasio	0,01 mMol/l	0,4 mg/L
Amonio		0,2 mg/l
Nitritos		menos de 0,05 mg/l
Nitratos		0,04 mg/l
Fosfatos		0,20 mg/l

NOTA: Desde el punto de vista de la acidez y la concentración de sulfatos solubles el complejo agua-suelo no debe considerarse agresivo hacia el hormigón armado.

Debe observarse que los análisis físico-químicos como la acidez varían aun-

que levemente en las diferentes épocas del año. Por este motivo se recomienda rehacer los análisis durante el mes de Mayo para definir el efecto de las características del complejo suelo-agua sobre posibles efectos catalíticos en caso de usarse métodos de estabilización de suelos.

#### V. DERIVA LITORAL

La conjunción de factores hacen que el sector en consideración manifieste una de las tasas más altas de deriva litoral del Lago Nahuel Huapi. Tales factores son: vientos, predominantes del NWW, mayor longitud de Fecho, aporte de materiales granulares por erosión mínimo y por aporte fluvial (Río Ñireco) en grandes cantidades, posición de la costa respecto del tren de olas predominante y perfil de playa.

La medición de Deriva se realizó con clastos coloreados de sectores de playa, sector de rompientes y playa sumergida y con cuatro profundidades diferentes durante el tiempo de ejecución del estudio de suelos (es por esto último que debe tomarse como un valor parcial (instantáneo) y no como una media anual. Nótese que con las variaciones del nivel del lago varía la posición de la cara de playa, zona de rompientes y playa sumergida.

#### Resultados:

Debido a que los valores se han tomado en una época del año de fuertes vientos, alta tasa de aporte sedimentario y alto nivel del lago se entiende que los valores se acercan a los críticos. Tomando valores históricos de velocidad de vientos máximos se hace necesario ajustar los valores obtenidos por el coeficiente 2,3.

Debido a que con los distintos niveles del lago, el sector de rompientes (que registra la mayor tasa de deriva) alcanza diferentes posiciones, se asume que los valores de deriva de este sector son los máximos asegurados del conjunto de materiales granulares costaneros actuales. Se hace notar asimismo que la deriva se manifiesta en profundidad de agua hasta donde existen efectos significativos del tren de olas.

- Capa Activa:  $27 \text{ cm} \times 2,3 = 62,10 \text{ cm}$
- Velocidad de Deriva Superficial Máxima:  $0,72 \text{ m/día} \times 2,3 = 2,16 \text{ m/día}$
- Diámetro Hidráulico Crítico: según las observaciones realizadas con clastos de diámetros hidráulicos mayores de 35 cm que se hallan anclados por debajo de la capa activa, se encontró que los mismos no registran movimientos de deriva.

Con todo esto, tanto los caños de descarga al lago como los materiales de es collera deberán anclarse por debajo de 60-70 cm del nivel de playa y los diámetros hidráulicos del material de "Rip Rap" deben superar al menos en 0,25 la altura de anclaje (70-80 cm).

- Sedimentación costera: obstáculos perpendiculares a la costa que no permitan el paso de sedimentos en deriva se verán afectados por una marcada acumulación de materiales gruesos en el ángulo Occidental y al cabo del relleno sedimentario comenzará a colmatarse, con materiales más finos, el ángulo Oriental o de Sotavento

De permitirlo los aspectos técnicos y económicos, debería optarse por montar la descarga sobre pilotes cilíndricos de hierro a 1,2 m de la cota de máximo embalse del lago.

## VI. MOVIMIENTO DE SUELOS

### Medidas de Esponjamiento:

El factor de esponjamiento fué medido en cada una de las cuatro unidades principales.

	Transitorio	Permanente
1- Suelo "Edáfico"	1,27	1,22
2- Gravas Arenosas	1,35	1,27
3- Arenas Uniformes	1,12	1,09
4- Till	1,47	1,38

Nota: en cada caso se indicó un volumen de material superior a  $0,5 \text{ m}^3$

### Trabajabilidad del Material:

Las características de todo el material incluyendo el Till, permiten trabajar con palas cargadoras con rodados de goma.

Se sugiere realizar primeramente la remoción del nivel de suelo "edáfico" y posteriormente prever los drenajes para la excavación de la grava arenosa por debajo del nivel freático.

Se sugiere la excavación por bancos de no más de 2 m de altura comenzando des de el N. El piso de cada banco debería tener una pendiente mínima de 1° hacia el N y 1° hacia el W (de acuerdo a la posición de las isofreáticas). Esto permitirá un drenaje total hacia el lago conforme avance la excavación, hasta que se alcance el nivel de base (lago), a partir de este punto se recomienda recurrir a retroexcavadoras y escoger un sistema de desagote adecuado según las características hidrogeológicas.

Si las condiciones técnicas y económicas lo permiten, es conveniente deprimir el nivel freático de la periferia mediante perforaciones someras del tipo de punteras múltiples. El excedente (4-7 %) se podrá extraer de pozos de achique. Esta metodología permitirá ejecutar las obras por debajo del nivel freático en las mejores condiciones.

El Till merece una atención especial y deben considerarse dos posibilidades:

- Matriz (cerca del 96 % del material) puede ser trabajada con escarificadores, martillos rompedores con pala (tipo Piönjär o similares) y/o eventualmente con retroexcavadoras de gran potencia. No se recomienda el uso de explosivos.

- Bloques: es posible encontrar grandes bloques distribuidos al azar que necesariamente deberán ser trabajados con explosivos acordes a la composición y e estructura del bloque. Según los datos locales nunca superan en un 6 % al volúmen movilizado.

Nota: en cuanto a los coeficientes de trabajabilidad solicitados puede decirse que existen coeficientes empíricos y teóricos en el campo de los laboreos en roca. Para algunos casos particulares de movimiento de suelos existe la posibilidad de elaborar coeficientes empíricos sobre la base del rendimiento, en un

módulo, de determinado equipo con una metodología específica de trabajo. Se recomienda, en caso de que se realicen rellenos con el material del predio se consideren relaciones humedad-densidad del material (mezcla) resultante (Ensayo de compactación ASTM D 698-70 y D1557-70)

## VII. METODO DE TRABAJO

La metodología de trabajos quedó bien determinada en el contrato de obra. Cada una de las variaciones han sido justificadas en los items particulares. Se adjunta un listado de las normas básicas que han sido utilizadas.

- Recolección de muestras "in situ" ASTM D420
  - Contenido de Humedad ASTM D2216-71
  - Granulometría (mecánica) ASTM D421-58 / D42263
  - Límite Líquido ASTM D423-66
  - Límite Plástico ASTM D424-59
  - Peso Específico ASTM D854-58
  - Ensayos triaxiales:

Las muestras de suelos no cohesivos fueron remoldeadas hasta dejarlas normalmente consolidadas y sobre las mismas se realizaron ensayos CU que resultan, a nuestro criterio, los más adecuados al tipo de terreno.

La matriz del Till fue analizada con ensayos CD en muestras

- #### - Análisis Sedimentológicos (textura):

Se tomaron cuadros de Krumbien (1941), Lees (1964), Kezdi (1964) y Myall (1986).

- ### - Análisis Químicos:

Fueron realizados según sugerencias de Terzaghi y Peck (1958) y Chernov (1964) con un agregado de la rutina de análisis para aguas subterráneas.

- Clasificación de Suelos: (clasificación unificada. ASTM D2487)

Nota: de acuerdo a los perfiles recibidos recientemente con cotas de obra definitivas para primera y segunda etapa, se informa que el presente estudio cubre el sector de Primera Etapa. Para definir valores de la segunda Etapa será nece-

sario investigar geotécnicamente, por lo menos, 3,5 m por debajo de la cota actual de estudios.

La cota de estudios para el área de Silos, según planos recibidos recientemente deberá ser de al menos 15 m.

### VIII. FUNDACIONES

En todos los casos de acuerdo a las características del terreno se pueden realizar fundaciones someras o poco profundas. Sobre esta base y teniendo en cuenta que debido a las características de la obra van a ser utilizadas todas las unidades geotécnicas a diferentes profundidades como terreno de fundación, se calcularon presiones admisibles para cada una de ellas.

#### Presiones Admisibles:

Se toma en cuenta para el cálculo la cota de fundación, el asentamiento tolerable y la seguridad contra fractura (en este caso no estructurales). Se toman como premisas básicas que la acción máxima del hielo en el sector no excede en ningún caso los 40 cm; los cambios de volumen estacionales afectan los primeros 30 cm y no existen posibilidades de erosión de bases por vientos (eólica) ni por corrientes superficiales de agua (fluvial). No existirán interacciones entre estructuras del presente proyecto y estructuras vecinas.

#### Carga Final (Presión Final):

Se toma, debido a las características de baja compresibilidad (alto índice de rigidez) del terreno la hipótesis de fractura general (Caquot, 1934; Buisman, 1935; Terzaghi, 1943).

Para todos los casos de material granular no cohesivo y sin sobrecarga ( $q=0$ ) se toma la fórmula de Prandtl y Reissner ( $c=0$ ;  $q=0$ )

Para el Till se toma la fórmula de Buisman - Terzaghi con las consideraciones de Hasen y Christensen (1969).

Los factores de forma fueron extraídos de DeBeer (1967) con las modificaciones

de Vesic (1970)

Nota: En caso de inclinación o excentricidad de la carga como así también inclinación de la base o pendiente de la superficie de apoyo, perfil vertical no plano de la base de la fundación y velocidad de carga que escape a los rangos de carga estática, deben corregirse los valores de carga final.

Efecto de resistencia a la cizalla de sobrecarga y rugosidad excesiva de la base, inclinan hacia el lado de la seguridad los valores de presión final.

Para considerar la influencia de la compresibilidad de los suelos y efectos conexos (scale effects) se utilizan los criterios de Terzaghi (1943) con las consideraciones de Vesic (1969).

Para considerar el efecto del nivel freático se ha realizado una corrección para el caso más desfavorable tomando criterios de Meyerhof (1955).

Las condiciones de inhomogeneidad del perfil de suelo se han analizado según exposición de Winterkorn y Fang (1975), también en el más desfavorable de los casos según características del terreno.

En cuanto al efecto de posibles terremotos sobre el predio debe prestarse atención principalmente a condiciones de liquefacción potencial. La única unidad con alguna posibilidad de liquefacción durante movimientos sísmicos severos es la facies lacustre arenosa (Ver See, Lee and Idriss, 1969).

Para suelos susceptibles a liquefaccionarse, D'Appolonia (1970) sugiere algunos procedimientos que creemos de utilidad (Véase Copia 2)

Nótese que el tendido del conducto de descarga atraviesa más de 100 m de este material arenoso y se han detectado roturas sin explicación aparente.

#### Factor de Seguridad

El factor de seguridad fué seleccionado según el cuadro presentdo por Vesic, (1970) y se fijó en 2,8 para la totalidad de las obras con excepción de Silos que deberán tomarse en 3,5.

Nota: la presión admisible (presión final o de rotura/factor de seguridad) se ha tomado para cada unidad geotécnica en particular y es variable según la cota definitiva de fundación.

into a "minimum resistance structure" or "flow structure," which differs in the arrangement of the grains from the "normal structure" of a sand that governs the stress-strain behavior during  $S$  tests.

The results of the  $\bar{R}$  (CU) tests with cyclic loading in which liquefaction developed (always starting at small strains) were found to be governed also by the  $\bar{\epsilon}_p$  line. During cyclic loading in which liquefaction, as defined by Casagrande, did not occur, pore pressure and cyclic strains increased with each cycle eventually resulting in momentary zero effective stresses when the deviator stress passed through the zero value. Castro (1969) attributes this to radical redistribution of moisture content within the specimen from the lower to upper portion of the specimen resulting in a nonhomogeneous specimen which can no longer be considered representative of in situ elements that remain homogeneous.

Although Seed and collaborators' and Casagrande's concepts of "liquefaction" are somewhat different, both schools of thought emphasize the importance of providing adequate relative density in cohesionless soils that may become saturated and subjected to static or especially to dynamic shear stresses. Castro (1969) concluded that of the three sands tested, the one with the subrounded to subangular grains was more susceptible to liquefaction than the sands with angular grains.

Kishida (1969) reported on field observations made where eruption of water and soil had been observed during three earthquakes of intensity V to VI (Japanese Meteorological Agency scale). Most of the liquefaction of sands occurred under these conditions, for sand in which  $D_{50} < 2$  mm and  $C_u < 10$ . The effective overburden pressure was less than  $2.0 \text{ kg/cm}^2$ ;  $D_r < 75$  percent and no fine-grained soil strata lay above the saturated sands.

D'Appolonia (1970) reported that the general conditions for liquefaction qualitatively documented by the Japanese based on the Niigata earthquake of 1964 were: the soils contained less than 10 percent fines (silt and clay sizes),  $D_{50}$  was between 0.2 mm and 1.0 mm,  $C_u$  was between 2 and 5, and the blow count per foot in standard penetration tests was less than 15. He suggested that liquefaction might occur in cohesionless soils of relative density less than 50 percent during ground accelerations of approximately  $0.1g$ ; while for relative densities greater than 75 percent, liquefaction is unlikely for most earthquake loadings. For foundation soils that are susceptible to liquefaction, D'Appolonia (1970) suggests the following procedure: (1) excavate the liquefiable material and replace it in a dense state by compaction, (2) bypass the questionable material by using piles to support the structure, and (3) densify the soil in situ by vibratory compactors, vibroflotation, stone columns, or other suitable means (see section 7.3). For machinery foundations the granular soils should be compacted to a depth (significant depth) of 1.5 times the average width of the foundation and for an annular distance around the building equal to at least one-half the average width of the foundation.

Where estimates of ground motion can be made using, for example, the work of Whitman and Richart (1967), D'Appolonia (1970) suggested relative densities of foundations subjected to dynamic loads and soil strain caused by the ground motion as follows:

Soil Strain Caused by Ground Motion	Suggested Minimum Relative Density
Small ( $10^{-5}$ to $10^{-3}$ in/in)	70 percent
Intermediate ( $10^{-3}$ to $10^{-2}$ in/in)	80 percent
Large ( $10^{-2}$ to $10^0$ in/in)	90 percent

To reduce the risk of liquefaction the granular soil should be densified to a minimum relative density of 85 percent in the upper portions and at least 70 percent within the zone of influence (significant depth and area) of the foundation.

### 7.3 COMPACTION EQUIPMENT\*

A large variety of mechanical equipment is available for compaction of soils, but soil type and moisture condition will often dictate the type of equipment and methods of use. The choice of compaction equipment depends also on the intended function of the compacted fill.

As was discussed in section 7.2, desirable characteristics of compacted fill are low compressibility and high shear strength. In addition, low permeability is essential for compacted fill in water-retaining structures. In cohesive soils, low compressibility and high shear strength can be correlated with high densities. The requirement for low permeability in water-retaining structures precludes the use of equipment or construction methods which will produce layering or laminations in compacted fill. Substantial variation in density (density gradients) in individual lifts are also to be avoided if a homogeneous fill is desired.

**Types of Compaction Equipment** Compaction equipment produces compaction by the amount and type of energy it applies to the soil. Table 7.6 shows types and typical uses of compaction equipment (NAVDOCKS DM-7, 1962). Comparative studies of different types of compaction equipment using large-scale field tests have been made by the U.S. Corps of Engineers, by the British Road Research Laboratory, and by the U.S. Bureau of Reclamation. The following maximum dry densities, expressed as a percentage of modified AASHO density ( $56,250 \text{ ft-lb/ft}^3$ ), were obtained in silty clay fills built in 6-inch lifts, with six passes of the compaction equipment (Waterways Experiment Station, 1949):

10,000-lb wheel load rubber tires	92-94 percent
20,000-lb wheel load rubber tires	92-93 percent
40,000-lb wheel load rubber tires	93-94 percent
250-psi sheepfoot roller	92 percent
500-psi sheepfoot roller	91-92 percent
750-psi sheepfoot roller	91-92 percent

These data indicate that increasing wheel-loads or contact pressures did not result in significant density increases. It should be noted, however, that the wheel pressures of the rubber-tired equipment remained constant and that the drums of the sheepfoot roller remained in contact with the soil throughout the series of tests (i.e., the rollers did not walk out).

The British Road Research Laboratory (Lewis, 1960) compacted four different soils with five different types of compacting equipment: three-wheel smooth-wheel rollers, sheepfoot rollers, a pneumatic-tire roller, vibrating base-plate compactor, and a vibrating roller. The high-pressure pneumatic-tire roller produced the highest compaction in a heavy clay, but a club-footed sheepfoot roller produced almost the same compaction. The heavy pneumatic-tire roller and the vibrating roller produced the highest compaction in a sandy clay. Vibratory rollers produced the highest compaction in a well-graded sand and in a clay, sand, and gravel mixture.

A large-scale field test using a vibratory sheepfoot roller

\*Edward W. Gray, Jr., Civil Engineer, U.S. Bureau of Reclamation, prepared this section under the direction of the author.

Cota de fundación:

Debido a la naturaleza de las obras y la indefinición al momento de la ejecución del presente estudio de ubicación definitiva de las estructuras, se ha optado por entregar un plano geotécnico con tensiones de cálculo (presiones admisibles) a diferentes cotas y en distintos sectores (Ver resumen de datos geotécnicos)

IX. TABLAS DE DATOS GEOTECNICOS

Tanto los datos de campo como los de laboratorio han sido compilados en Tablas. Cada Tabla corresponde a una labor. La ubicación de las labores en terreno se halla en el plano Topográfico-Geomorfológico y de Ubicación de las Labores.



CARLOS ANDRES BERROS  
LICENCIADO EN CIENCIAS GEOLOGICAS  
MAT. 2090

LABOR: EXCAVACION S1

Fecha : Septiembre 1990

LABOR : EXCAVACION S2

Fecha: Septiembre 1990

## **LABOR: EXCAVACION B1**

Fecha: Septiembre 1990

LABOR: TERZAGHI 1

Fecha: Septiembre 1990

LABOR: TERZAGHI 2

Fecha: Septiembre 1990



LABOR : TERZAGHI 4

Fecha: Septiembre 1990

LABOR : CALICATA A

Fecha: Septiembre 1990

LABOR: CALICATA B

Fecha: Septiembre 1990

GRANULOMETRIA (mm)	775	768,8	766,8	764,8	762,8	760,8
Gota (m)	5-9	>50	3	4	5	6
Número de Golpes y Portc. de Rec.	1	GW	MD	SP	BL	5
Número de Muestra Clasif. Unifícada	0	0	0	0	0	0
Representación	0	0	0	0	0	0
Muestreador Retroexcavadora	0	0	0	0	0	0
Gamisa	3"	—	—	—	—	—
Contenido de Humedad (%)	8	6	12	23	23	23
Límite líquido (%)	—	—	—	—	—	—
Límite plástico (%)	—	—	—	—	—	—
Peso específico	2,3	2,12	38	41	41	41
Ángulo de fricción interna φ (grados)	—	—	—	—	—	—
Cohesión C (Psi)	< 0,08	—	—	—	—	—
Centro 0,08 y 0,4	—	—	—	—	—	—
Centro 0,4 y 2,0	—	—	—	—	—	—
Centro 2,0 y 4,0	—	—	—	—	—	—
Centro 4,0 y 19,0	—	—	—	—	—	—
Centro 19,0 y 76,2	—	—	—	—	—	—
Cu	—	—	—	—	—	—
Ca	—	—	—	—	—	—
76,2	—	—	—	—	—	—
Redondelz Krumbein (1941)	6	6-7	D	E	F	G

LABOR: SOCAVON 1

Fecha: Septiembre 1990

GRANULOMETRIA (mm)	
Redondez Krumbein (1941)	6-7
Forma > 1" - Lees (1964)	E
Co	D
Cu	7-8
> 76,2	D
Entre 19,0 y 76,2	7-8
Entre 4,0 y 19,0	7-8
Entre 2,0 y 4,0	7-8
Entre 0,4 y 2,0	7-8
Entre 0,08 y 0,4	7-8
< 0,08	7-8
Cohesión C (Psi)	7-8
Intercala g (grados)	7-8
Angrulo de fricción	7-8
Peso específico	7-8
Límite plástico (%)	7-8
Límite líquido (%)	7-8
Contenido de humedad (%)	7-8
Camisa	7-8
Excavación Manual	7-8
Muestreador	7-8
Entrecruz. Gran Escala	7-8
Basado Estruct. Sediment.	7-8
Representación	7-8
Número de muestras	7-8
Clasif. Unifícada	7-8
Número de golpes y porc. de Rec.	7-8
Profund.	7-8
Cota (m)	7-8
775,8	7-8
0	7-8
1	7-8
2	7-8
3	7-8
4	7-8
5	7-8
6	7-8
7	7-8
8	7-8

## LABOR: SOCAVON 2

Fecha: Septiembre 1990

Profund.	779	Cota (m)	
Número de Golpes y Rec.	3-7 150	Clasif. de Muestra	4 GW
Representación	0.00 0.00 0.00 0.00 0.00 0.00 0.00	Excavación Manual	Mass. Estuct. Sediment.
Mass.	EE	Mass.	EE
Gamas	12	Contenido de Humedad (%)	17
Límite líquido (%)		Límite líquido (%)	
Límite plástico (%)		Peso específico	2,3
Ancho de fricción interna φ (grados)		Cohesión C (Psi)	< 0,03
Entre 0,08 y 0,4		Entre 0,4 y 2,0	
Entre 2,0 y 4,0		Entre 4,0 y 19,0	
Entre 19,0 y 76,2		Entre 76,2 y 76,2	
Co		Co	
Redondez	6	Krumbein (1941)	7
Forma "I"-Lees (1964)	7	D	7-9
		D	D
		D	D

LABOR: SOCAVON 3

Fechar Setembro 1990

LABOR: SOCAVON 4

Fechat : Setembre 1990

LABOR: SOCAYON 5

Fecha: Septiembre 1990

GRANULOMETRIA (mm)	7	6-7	7-8	6-7
Redondez Krumbein (1941)				
Forma > 1" - Lees (1964)	E	D	C	C
Ce				
Cu				
≥ 76,2				
Entre 19,0 y 76,2				
Entre 4,0 y 19,0				
Entre 2,0 y 4,0				
Entre 0,4 y 2,0				
Entre 0,08 y 0,4				
< 0,08				
Cohesión C (Psi)				
Angulo de Fricción Internas g (Grados)				
Peso Específico	2,3	2,12	2,2	2,2
Límite Plástico (%)				
Límite Líquido (d)				
Contenido de Humedad (%)	15	7	3	8
Gamas				
Excavación Manual				
Muestreador				
Extract. Sediment.	EE	EE	EE	EE
Masa.				
Representación	0,00	0,00	0,00	0,00
Número de Muestras	1	1	1	1
Clasif. Unificada	GW	GW	GW	GW
Número de Golpes y. Porc. de Rec.	4	3	2	4
Cota (m)	777	12-15 >50	1	1
Profund.				

LABOR: SOCIAVON 7

Fecha : Septiembre 1990

LABOR: SOCAVON 8

Fecha: Septiembre 1960

Profund.	Cota (m)	No calificada para SPT	Numero de golpes y porc. de Rec.	Numero de muestreos y muestreos	Clasif. Unificada	Representacion	Entr. Gran escala-Masivo - G. esgc.	Muestreo	Camisa	Límite líquido (%)	Peso específico	Angulo de fricción interno φ (grados)	Coeficiente C (Psi)	< 0,08	entre 0,08 y 0,4	entre 0,4 y 2,0	entre 2,0 y 4,0	entre 4,0 y 19,0	entre 19,0 y 76,2	entre 76,2 y 1941	Redondez	EE	D	E	F	G	H	I	J	K	L	M	N	O	P	Q	R	S	T	U	V	W	X	Y	Z
777,5	2-7-9 1 73% >50	1 GW 3 GW 4 GW 5 GW 6 GW 7 GW 8 GW 9 GW 10 GW 11 GW 12 GW 13 GW 14 GW 15 GW 16 GW 17 GW 18 GW 19 GW 20 GW 21 GW 22 GW 23 GW 24 GW 25 GW 26 GW 27 GW 28 GW 29 GW 30 GW 31 GW 32 GW 33 GW 34 GW 35 GW 36 GW 37 GW 38 GW 39 GW 40 GW 41 GW 42 GW 43 GW 44 GW 45 GW 46 GW 47 GW 48 GW 49 GW 50 GW 51 GW 52 GW 53 GW 54 GW 55 GW 56 GW 57 GW 58 GW 59 GW 60 GW 61 GW 62 GW 63 GW 64 GW 65 GW 66 GW 67 GW 68 GW 69 GW 70 GW 71 GW 72 GW 73 GW 74 GW 75 GW 76 GW 77 GW 78 GW 79 GW 80 GW 81 GW 82 GW 83 GW 84 GW 85 GW 86 GW 87 GW 88 GW 89 GW 90 GW 91 GW 92 GW 93 GW 94 GW 95 GW 96 GW 97 GW 98 GW 99 GW 100 GW 101 GW 102 GW 103 GW 104 GW 105 GW 106 GW 107 GW 108 GW 109 GW 110 GW 111 GW 112 GW 113 GW 114 GW 115 GW 116 GW 117 GW 118 GW 119 GW 120 GW 121 GW 122 GW 123 GW 124 GW 125 GW 126 GW 127 GW 128 GW 129 GW 130 GW 131 GW 132 GW 133 GW 134 GW 135 GW 136 GW 137 GW 138 GW 139 GW 140 GW 141 GW 142 GW 143 GW 144 GW 145 GW 146 GW 147 GW 148 GW 149 GW 150 GW 151 GW 152 GW 153 GW 154 GW 155 GW 156 GW 157 GW 158 GW 159 GW 160 GW 161 GW 162 GW 163 GW 164 GW 165 GW 166 GW 167 GW 168 GW 169 GW 170 GW 171 GW 172 GW 173 GW 174 GW 175 GW 176 GW 177 GW 178 GW 179 GW 180 GW 181 GW 182 GW 183 GW 184 GW 185 GW 186 GW 187 GW 188 GW 189 GW 190 GW 191 GW 192 GW 193 GW 194 GW 195 GW 196 GW 197 GW 198 GW 199 GW 200 GW 201 GW 202 GW 203 GW 204 GW 205 GW 206 GW 207 GW 208 GW 209 GW 210 GW 211 GW 212 GW 213 GW 214 GW 215 GW 216 GW 217 GW 218 GW 219 GW 220 GW 221 GW 222 GW 223 GW 224 GW 225 GW 226 GW 227 GW 228 GW 229 GW 230 GW 231 GW 232 GW 233 GW 234 GW 235 GW 236 GW 237 GW 238 GW 239 GW 240 GW 241 GW 242 GW 243 GW 244 GW 245 GW 246 GW 247 GW 248 GW 249 GW 250 GW 251 GW 252 GW 253 GW 254 GW 255 GW 256 GW 257 GW 258 GW 259 GW 260 GW 261 GW 262 GW 263 GW 264 GW 265 GW 266 GW 267 GW 268 GW 269 GW 270 GW 271 GW 272 GW 273 GW 274 GW 275 GW 276 GW 277 GW 278 GW 279 GW 280 GW 281 GW 282 GW 283 GW 284 GW 285 GW 286 GW 287 GW 288 GW 289 GW 290 GW 291 GW 292 GW 293 GW 294 GW 295 GW 296 GW 297 GW 298 GW 299 GW 300 GW 301 GW 302 GW 303 GW 304 GW 305 GW 306 GW 307 GW 308 GW 309 GW 310 GW 311 GW 312 GW 313 GW 314 GW 315 GW 316 GW 317 GW 318 GW 319 GW 320 GW 321 GW 322 GW 323 GW 324 GW 325 GW 326 GW 327 GW 328 GW 329 GW 330 GW 331 GW 332 GW 333 GW 334 GW 335 GW 336 GW 337 GW 338 GW 339 GW 340 GW 341 GW 342 GW 343 GW 344 GW 345 GW 346 GW 347 GW 348 GW 349 GW 350 GW 351 GW 352 GW 353 GW 354 GW 355 GW 356 GW 357 GW 358 GW 359 GW 360 GW 361 GW 362 GW 363 GW 364 GW 365 GW 366 GW 367 GW 368 GW 369 GW 370 GW 371 GW 372 GW 373 GW 374 GW 375 GW 376 GW 377 GW 378 GW 379 GW 380 GW 381 GW 382 GW 383 GW 384 GW 385 GW 386 GW 387 GW 388 GW 389 GW 390 GW 391 GW 392 GW 393 GW 394 GW 395 GW 396 GW 397 GW 398 GW 399 GW 400 GW 401 GW 402 GW 403 GW 404 GW 405 GW 406 GW 407 GW 408 GW 409 GW 410 GW 411 GW 412 GW 413 GW 414 GW 415 GW 416 GW 417 GW 418 GW 419 GW 420 GW 421 GW 422 GW 423 GW 424 GW 425 GW 426 GW 427 GW 428 GW 429 GW 430 GW 431 GW 432 GW 433 GW 434 GW 435 GW 436 GW 437 GW 438 GW 439 GW 440 GW 441 GW 442 GW 443 GW 444 GW 445 GW 446 GW 447 GW 448 GW 449 GW 450 GW 451 GW 452 GW 453 GW 454 GW 455 GW 456 GW 457 GW 458 GW 459 GW 460 GW 461 GW 462 GW 463 GW 464 GW 465 GW 466 GW 467 GW 468 GW 469 GW 470 GW 471 GW 472 GW 473 GW 474 GW 475 GW 476 GW 477 GW 478 GW 479 GW 480 GW 481 GW 482 GW 483 GW 484 GW 485 GW 486 GW 487 GW 488 GW 489 GW 490 GW 491 GW 492 GW 493 GW 494 GW 495 GW 496 GW 497 GW 498 GW 499 GW 500 GW 501 GW 502 GW 503 GW 504 GW 505 GW 506 GW 507 GW 508 GW 509 GW 510 GW 511 GW 512 GW 513 GW 514 GW 515 GW 516 GW 517 GW 518 GW 519 GW 520 GW 521 GW 522 GW 523 GW 524 GW 525 GW 526 GW 527 GW 528 GW 529 GW 530 GW 531 GW 532 GW 533 GW 534 GW 535 GW 536 GW 537 GW 538 GW 539 GW 540 GW 541 GW 542 GW 543 GW 544 GW 545 GW 546 GW 547 GW 548 GW 549 GW 550 GW 551 GW 552 GW 553 GW 554 GW 555 GW 556 GW 557 GW 558 GW 559 GW 560 GW 561 GW 562 GW 563 GW 564 GW 565 GW 566 GW 567 GW 568 GW 569 GW 570 GW 571 GW 572 GW 573 GW 574 GW 575 GW 576 GW 577 GW 578 GW 579 GW 580 GW 581 GW 582 GW 583 GW 584 GW 585 GW 586 GW 587 GW 588 GW 589 GW 590 GW 591 GW 592 GW 593 GW 594 GW 595 GW 596 GW 597 GW 598 GW 599 GW 600 GW 601 GW 602 GW 603 GW 604 GW 605 GW 606 GW 607 GW 608 GW 609 GW 610 GW 611 GW 612 GW 613 GW 614 GW 615 GW 616 GW 617 GW 618 GW 619 GW 620 GW 621 GW 622 GW 623 GW 624 GW 625 GW 626 GW 627 GW 628 GW 629 GW 630 GW 631 GW 632 GW 633 GW 634 GW 635 GW 636 GW 637 GW 638 GW 639 GW 640 GW 641 GW 642 GW 643 GW 644 GW 645 GW 646 GW 647 GW 648 GW 649 GW 650 GW 651 GW 652 GW 653 GW 654 GW 655 GW 656 GW 657 GW 658 GW 659 GW 660 GW 661 GW 662 GW 663 GW 664 GW 665 GW 666 GW 667 GW 668 GW 669 GW 670 GW 671 GW 672 GW 673 GW 674 GW 675 GW 676 GW 677 GW 678 GW 679 GW 680 GW 681 GW 682 GW 683 GW 684 GW 685 GW 686 GW 687 GW 688 GW 689 GW 690 GW 691 GW 692 GW 693 GW 694 GW 695 GW 696 GW 697 GW 698 GW 699 GW 700 GW 701 GW 702 GW 703 GW 704 GW 705 GW 706 GW 707 GW 708 GW 709 GW 710 GW 711 GW 712 GW 713 GW 714 GW 715 GW 716 GW 717 GW 718 GW 719 GW 720 GW 721 GW 722 GW 723 GW 724 GW 725 GW 726 GW 727 GW 728 GW 729 GW 730 GW 731 GW 732 GW 733 GW 734 GW 735 GW 736 GW 737 GW 738 GW 739 GW 740 GW 741 GW 742 GW 743 GW 744 GW 745 GW 746 GW 747 GW 748 GW 749 GW 750 GW 751 GW 752 GW 753 GW 754 GW 755 GW 756 GW 757 GW 758 GW 759 GW 760 GW 761 GW 762 GW 763 GW 764 GW 765 GW 766 GW 767 GW 768 GW 769 GW 770 GW 771 GW 772 GW 773 GW 774 GW 775 GW 776 GW 777 GW 778 GW 779 GW 780 GW 781 GW 782 GW 783 GW 784 GW 785 GW 786 GW 787 GW 788 GW 789 GW 790 GW 791 GW 792 GW 793 GW 794 GW 795 GW 796 GW 797 GW 798 GW 799 GW 800 GW 801 GW 802 GW 803 GW 804 GW 805 GW 806 GW 807 GW 808 GW 809 GW 810 GW 811 GW 812 GW 813 GW 814 GW 815 GW 816 GW 817 GW 818 GW 819 GW 820 GW 821 GW 822 GW 823 GW 824 GW 825 GW 826 GW 827 GW 828 GW 829 GW 830 GW 831 GW 832 GW 833 GW 834 GW 835 GW 836 GW 837 GW 838 GW 839 GW 840 GW 841 GW 842 GW 843 GW 844 GW 845 GW 846 GW 847 GW 848 GW 849 GW 850 GW 851 GW 852 GW 853 GW 854 GW 855 GW 856 GW 857 GW 858 GW 859 GW 860 GW 861 GW 862 GW 863 GW 864 GW 865 GW 866 GW 867 GW 868 GW 869 GW 870 GW 871 GW 872 GW 873 GW 874 GW 875 GW 876 GW 877 GW 878 GW 879 GW 880 GW 881 GW 882 GW 883 GW 884 GW 885 GW 886 GW 887 GW 888 GW 889 GW 890 GW 891 GW 892 GW 893 GW 894 GW 895 GW 896 GW 897 GW 898 GW 899 GW 900 GW 901 GW 902 GW 903 GW 904 GW 905 GW 906 GW 907 GW 908 GW 909 GW 910 GW 911 GW 912 GW 913 GW 914 GW 915 GW 916 GW 917 GW 918 GW 919 GW 920 GW 921 GW 922 GW 923 GW 924 GW 925 GW 926 GW 927 GW 928 GW 929 GW 930 GW 931 GW 932 GW 933 GW 934 GW 935 GW 936 GW 937 GW 938 GW 939 GW 940 GW 941 GW 942 GW 943 GW 944 GW 945 GW 946 GW 947 GW 948 GW 949 GW 950 GW 951 GW 952 GW 953 GW 954 GW 955 GW 956 GW 957 GW 958 GW 959 GW 960 GW 961 GW 962 GW 963 GW 964 GW 965 GW 966 GW 967 GW 968 GW 969 GW 970 GW 971 GW 972 GW 973 GW 974 GW 975 GW 976 GW 977 GW 978 GW 979 GW 980 GW 981 GW 982 GW 983 GW 984 GW 985 GW 986 GW 987 GW 988 GW 989 GW 990 GW 991 GW 992 GW 993 GW 994 GW 995 GW 996 GW 997 GW 998 GW 999 GW 1000 GW	0	1	2	3	4	5	6	7	8																																		

LABOR: SOCIAVON 9

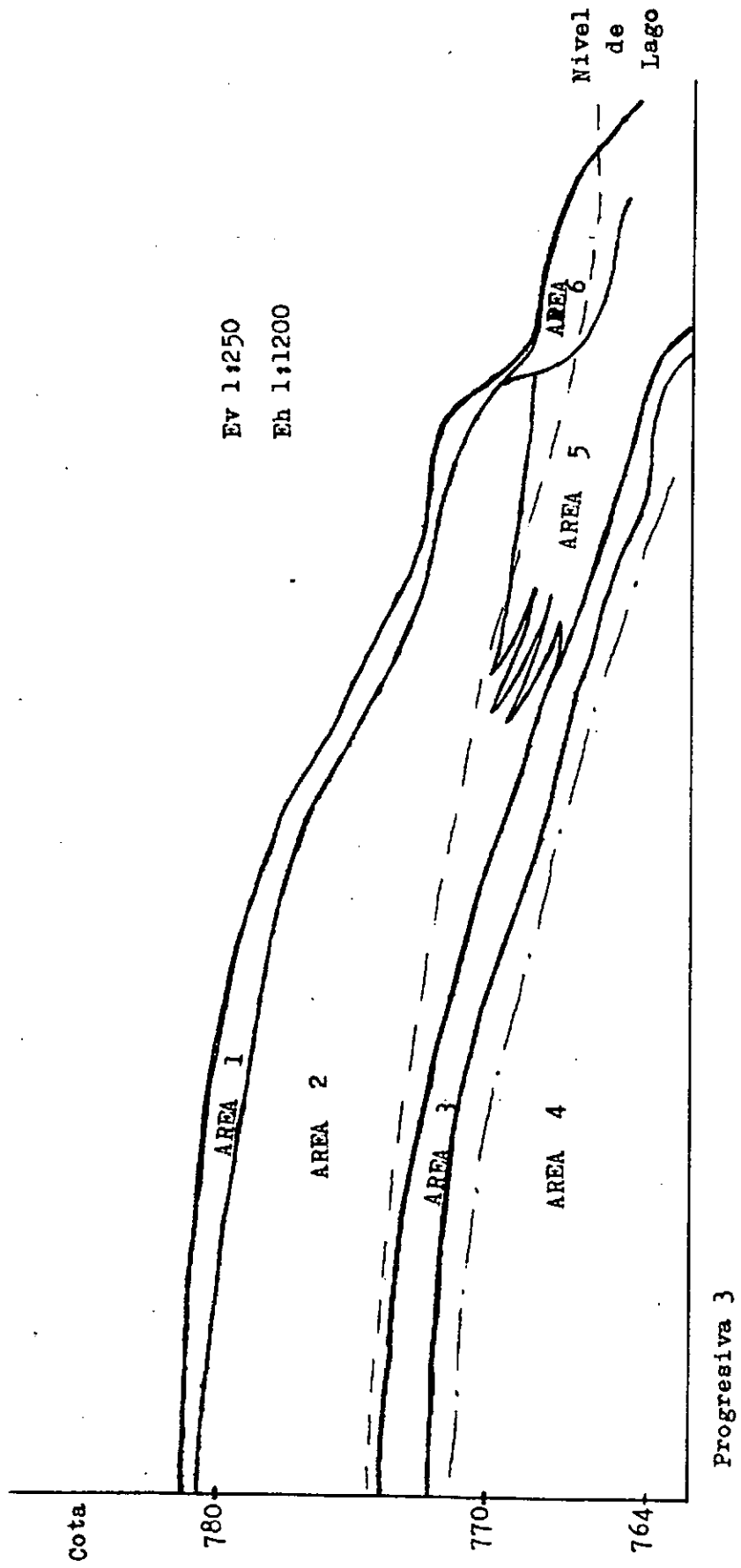
Rechner - September 1990

LABOR: SOCIAVON 10

Fecha: Septiembre 1990

GRANULOMETRIA (mm)	0	1	2	3	4	5	6	7	8
Profund.	781,5								
Gota (m)									
Número de Golpes y Portc. de Rec.	>50	12-21	1	2	3	4			
Número de Muestra			MD	GW	GW	GW			
Clasif. Unificada			0.0:	0.0:	0.0:	0.0:			
Representación			0.0:	0.0:	0.0:	0.0:			
Extract. Muestral			EE	M	EE				
Muestreador									
Contentido de Humedad (%)			12	7	8	6			
Límite líquido (%)									
Límite plástico (%)									
Peso específico		2,3							
Angulo de fricción				2,2	41				
Interior de grados						2,32	42		
Cohesión C (Psi)								2,2	40
Bufera 0,08 y 0,4									
Bufera 0,4 y 2,0									
Bufera 2,0 y 4,0									
Bufera 4,0 y 19,0									
Bufera 19,0 y 76,2									
76,2									
Ca									
Co									
Forma >1" - Lees (1964)			D	E	ED	C			
Redondes Krumbein (1941)							6		

X. PERFIL GEOTECNICO



Progresiva 3

## XII. DATOS PARA EL CALCULO

Tomando en cuenta el plano geotécnico-hidrogeológico se dan los valores siguientes:

	PRESION ADMISIBLE Kg/cm <sup>2</sup>	PRESION DE ROTURA Kg/cm <sup>2</sup>	COTA DE FUNDACION (m)
SECTOR A	2,1	5,9	Entre -0,8T y -3T
	0,9	3,0	Entre -3T y 7,5T
	2,8	7,9	Bajo Cota 764
SECTOR B	2,8	7,9	Bajo Cota 764
	Capa activa (no fundar)		Entre 0T y -0,7T
SECTOR C	3,1	8,7	Entre -1,2T y -6,25T
	2,8	7,9	Entre -6,25T y -8,1T
	1,4	5,0	Para silos en Cota 772
SECTOR D	3,3	9,3	Entre 1,2T y 8,5T

Tomando en cuenta el perfil geotécnico se entregan los siguientes valores:

	H %	LL %	IP %	φ Grad	C Psi
AREA 1	10			Descartada	
AREA 2	2-25	--	--	38	--
AREA 3	28	--	--	39	--
AREA 4	20	26	4	33	6
AREA 5	30	--	--	34	--
AREA 6				Playa actual activa	

### XIII. REFERENCIAS BIBLIOGRAFICAS

- González Bonorino F. y González Bonorino G. (1972). Geología de la Región de San Carlos de Bariloche. Un estudio de las Formaciones Terciarias del Grupo Nahuel Huapi. Asoc. Geol. Arg. Rev. T XXXIV N°2 pp 113-125. Bs. As.
- C.A.B. Perforaciones. Registro de Perforaciones. P29 y C72
- Flint, R.F. y Fidalgo (1963). Geología Glacial de la Zona.... Dir. Nac. de Geología y Minas. Boletín 99. Bs. As.
- Davis, C.V. y Sorensen (1969). Handbook of Applied Hydraulics 3rd. Ed. McGraw Hill. N.Y.
- Terzaghi y Peck (1958). Mecánica de Suelos en la Ingeniería Práctica. 2nd Ed. El Ateneo. Bs. As.
- Krynine y Judd (1972). Principios de geología y geotecnia para ingenieros. 3rd. Ed. Ediciones Omega S.A. Barcelona
- Winterkorn, H.F. and H. Yang Fang (1975). Foundation Engineering Handbook. Van Nostrand Reinhold Company
- Hsai Yang Fang (1975). In Winterkorn y Fang (1975).
- Chernov (1964). The nature of soil acidity. USSR Academy of Science, 1947, English translation, SSSA, =1964.
- Pionjär (Catálogos Atlas Copco)
- Krumbein (1941). Measurment and ... Sed. Petr. 11, N° 2 pp 64-72
- Lees (1964). The measurment of part ... Journal British Granite and Whinstone Federation 4, N° 2.
- Kedzi (1964). Discussion of Paper... Highway research record, 52, pp 42-59
- Myall (1986) Dynamic Estratigraphy.
- Caquot (1934). Equilibre des massifs... Gauthier-Villars, Paris. pp 1-91.

- Buisman (1935). De werstand.... De Ingenieur 50, pp Bt 25-28; 31-35
- Terzaghi (1943). Theoretical soil mechanics. J. Wiley & Sons, NY.
- Hansen y Christensen (1969). Discussion of theoretical bearing capacity... Proceedings. ASCE, Journal of the Soil Mech. and Foun. Division 95, N° SM-6; pp 1568-72.
- DeBeer (1967). Profondervindelijke bijdrage ... 12 Annales des Travaux Publics de Belgique, 68, N° 6; pp 481-506.
- Vesic(1969) Effects of Scale and ... seventh international conference of soil mechanics and foundation engineering, Mexico, 1969 Vol.III; pp 270-272.
- Meyerhof (1955). Influence of ... Géotechnique 5, N° 3; pp 227-242.
- Vesic (1970). Research on bearing capacity of soils. In. Winterkorn y Yang Fang, 1975.
- See et al (1969). Influence of soil conditions on ground motions during earthquakes, Journal of the soil mech. and found division. ASCE 95, N SM 1 pp. 99-137 Juanary.

